

報 文

화학공학, 제 6 권 제 2 호
J. KICHE, Vol. 6, No. 2
June 1968

N₂O-CO₂-Air 分離用 까스 크로마토그라피 充填劑

李 華 榮*

Packing Material for Gas Chromatographic Separation of N₂O, CO₂ and Air

by

Wha Young Lee

Dept. of Chem Eng., College of Eng., Seoul National Univ.

ABSTRACT

The Column packing materials and the optimum conditions for Gas Chromatographic Analysis of the N₂O-CO₂-Air system were investigated.

Among the column materials tested, effort was concentrated on the packing materials, i.e. silica gel and activated carbon. This study has revealed that silica gel was unable to separate N₂O and CO₂ at room temperature while activated carbon was found to be suitable for this separation.

As the result of analysis conducted at various temperatures from 20° to 100°C on an 1 m activated carbon column, and at a carrier gas(Helium) flow rate of 45 ml/min, the optimum temperature for the separation of the mixture was found to range from 40° to 60°C.

緒 論

Gas Chromatography에 依한 氣體 및 液體 混合物의 分析은 分析化學 分野에 커다란 革新을 가져왔고, 特히 從來에相當한 時日을 必要로 하면 有機物質의 分析이 이 gas chromatography의 出現으로 아주 짧은 時間內에 定性 定量의으로 分析이 가능하게 됨에 따라 化學者 및 化學技術者들이 反應 mechanism과 反應速度(Kinetics)를 研究하는데 많은 도움을 주고 있는 것은 週知의 事實이다. gas chromatography가 石油化學의 급격한 發達로 새로운 有機 合成 分野에 많은 助力을 주고 있는一面 몇몇 研究者들은 吸着力이 큰 活性固體(active solid)를 column의 充填物質로 하는 gas-solid chromatography를 利用하여 恒久깨스(permanent gas)와 非凝縮性氣體(uncondensable gas)를 同時에 分

離하는데 노력하여 無機化合物의 合成 및 分解 速度等을 研究하는데 貢獻 해왔다. 本研究에서 特히 興味를 갖고있는 것은 筆者が 이미 화학공학 2권 1호에서 發表한 바와 같이 硝酸암모늄을 热分解 했을때 生成하는 亞酸化窒素(nitrous oxide)가 이미 工業化되어 全身吸入 麻醉剤로서 使用되고 있기 때문에 이 亞酸化窒素를 酸素와 함께 手術 患者에게 吸入시켰을 경우 呼吸器로 들어가는 吸入 깨스混合物과 人體內의 呼吸器를 通해서 나오는 排氣混合物을 分析함으로서 麻醉剤로서의 亞酸化窒素가 麻醉 前後에 人體內에서 定性定量의으로 어떤 變化를 하며 이 結果의 解析이 麻醉深度에 어떤 影響을 주는가를 研究하려는 醫學者들에게 도움을 주기 위하여 本實驗을 試圖하였다.

吸入 깨스混合物의 組成은 主로 N₂O와 O₂ 및 미량의 N₂이며 排氣混合物의 組成은 N₂O, CO₂, O₂ 및 微量의 N₂가 混合된 系로 从서 이들混合物을 分析하는 데 適合한 gas chromatography의 column充填物質과

* 서울大 工大 化工科

이를 分析하는데 必要한 最適條件을 찾는데 이 實驗의 目的을 두었다.

裝置

本研究에서 使用한 gas chromatography는 記錄計와 恒溫槽用 增幅器를 除外하고 모든 附屬品들을 國內市場에서 購入하여 組立하였다. 組立된 G.C는 Fig. 1과 같으며 이 G.C의 schematic diagram은 Fig. 2와 같다.

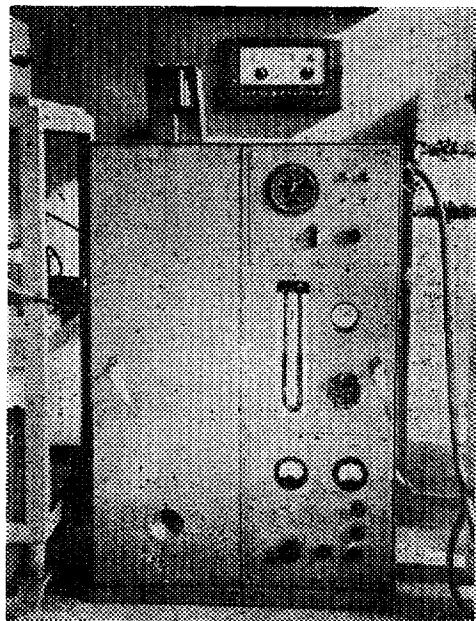


Fig. 1 Gas Chromatograph

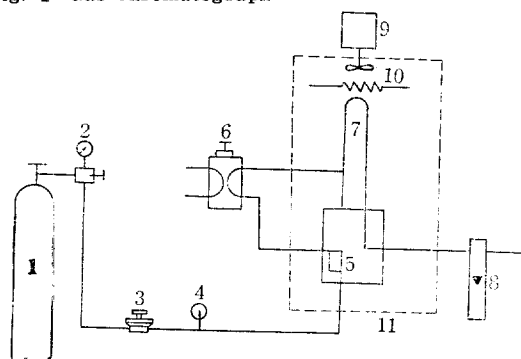


Fig. 2 Schematic Diagram of Gas Chromatograph

- | | |
|------------------------------------|-----------------------|
| 1. carrier gas cylinder | 2. pressure reducer |
| 3. pressure regulator | 4. pressure gauge |
| 5. thermal conductivity cell | 6. gas sampling valve |
| 7. U-type valve | 8. flow meter |
| 9. air Circulating fan | 10. electric heater |
| 11. constant air bath (thermostat) | |

Carrier gas⁽⁵⁾로는 해리움을 使用하였으며 全體 carrier gas線은 直徑 4.8 mm의 銅管을 사용하였다.

깨스 試料用 밸브⁽¹⁾(gas sampling valve)는 真鍮로 만들었으며 이 밸브의 핸들을 90 度씩 回輪시킴에 따라서 큰 피펫트와 작은 피펫트에 번갈아 試料를 流入 할 수 있게 되어 있다. 檢出器⁽¹⁾⁽²⁾(thermal conductivity cell)는 깨스가 cell chamber를 通過하는 方式에 따라 擴散型, 半擴散型 및 直通型으로 區分되는데 本 實驗裝置로 만든 檢出器는 對照室에 半擴散型, 測定室에 直通型을 取하였다.

Column은 直徑 6 mm의 銅管을 U字型으로 만들어 Fig. 2에서 보는 바와 같이 檢出器와 함께 空氣 恒溫槽에 넣어 $\pm 0.1^{\circ}\text{C}$ 以內로 항상 一定한 溫度를 維持하도록 되어 있다.

實驗

文獻⁽³⁾에 依하면 40~60 mesh의 씨리카겔을 column充填物質로 하여 U字型管에 넣고 室溫에서 CO₂와 N₂O를 分離하였다고 하나 本 實驗에서 直徑 6 mm 길이 1.8 m의 銅管에 silica gel을 넣고 예비 처리를 한 다음 헤리움을 carrier gas로 하여 N₂O, CO₂ 및 Air混合物

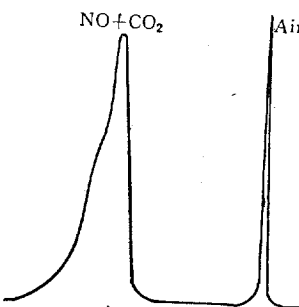


Fig. 3 (Column: silica gel)

分析을 試圖해 보았으나 Fig. 3에 나타난것과 같이 air peak와 약간 모양이 이상한 N₂O와 CO₂를 合친 peak 두개만이 나타나 silica gel로서는 室溫에서 이混合物을 分離할 수 없었다. 이밖에 silica gel을 吸着剤로 하여 Acetone-Dry Ice Bath에서 N₂와 O₂를 分離하고 低溫에서 N₂O와 CO₂를 分離하였다는 報告⁽⁴⁾가 있으나 實驗의 번거로움을 피하기 위하여 活性炭素(activated carbon)를 사용하여 分離해 보기로 하였다. 使用한 活性炭素는 Merck社 製品 gas chromatography用으로 粒度가 0.5 mm~0.75 mm이다. 이 活性炭素를 直徑 6 mm 길이 1 m의 U字型銅管에 넣고 carrier gas의 流速을 45 ml/min로 하여 20°, 40°, 60°, 80° 및 100°C에서 이混合物을 分離한結果 Fig. 4~8에서 보는 바와 같이 各溫度에서 Air, N₂O, 및 CO₂의 세成分으로 완전히 分離할 수 있었다. 空氣는 역시 Merck

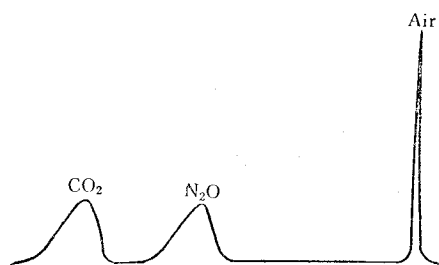


Fig. 4 (at 20°C)

Date May, 1968
 Sample N₂O-CO₂-Air
 Column length 1 m. active carbon
 Oven temperature(°C) 20, 40, 60, 80, 100
 Detector current 200 mA
 Carrier gas He
 Flow rate 45 ml/min.
 Recorder range 10 mV
 Chart speed 10 mm/min.
 Analyst W. Young Lee

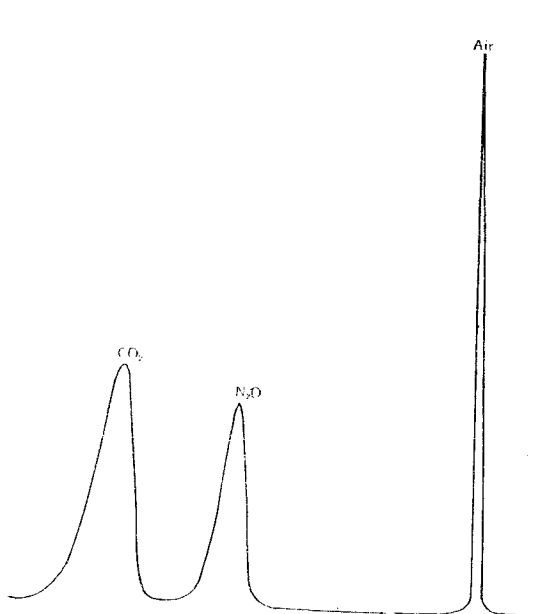


Fig. 5 (at 40°C)

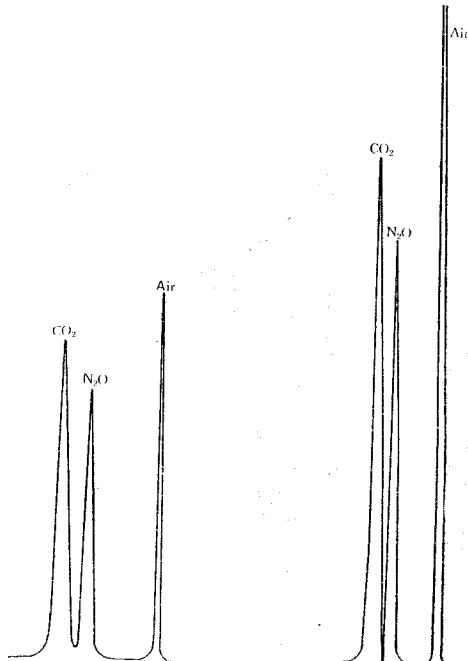


Fig. 7 (at 80°C) Fig. 8 (at 100°C)

社製品인 molecular sieve 5 Å를 사용하여 N₂와 O₂로 완전히 分離할 수 있음을으로 N₂O를 吸入麻酔剤로 사용하였을 경우 人體의 呼吸器를 通過해 나오는 排氣를 完全히 成分別로 分析할 수 있음을 確認하였다.

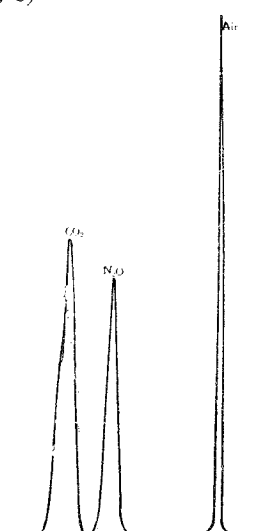


Fig. 6 (at 60°C)

實驗結果 및 考察

이느 混合物의 分析에서나 마찬가지로 各 成分의 elution time(流出時間)은 column의 길이에 比例하고 carrier gas의 流速에 反比例하는데 本 實驗에서도 40°C에서 carrier gas의 流速을 30 ml/min, 45 ml/min, 60 ml/min로 變化시켜 보고 column의 길이를 1 m와 1.8 m로 하여 實驗해본 結果 上記한 原理를 확인하였다.

해리움을 45 ml/min의 速度로 通했을 때 上記한 各 溫度에서 各 成分의 流出時間은 整理하면 Table. 1과

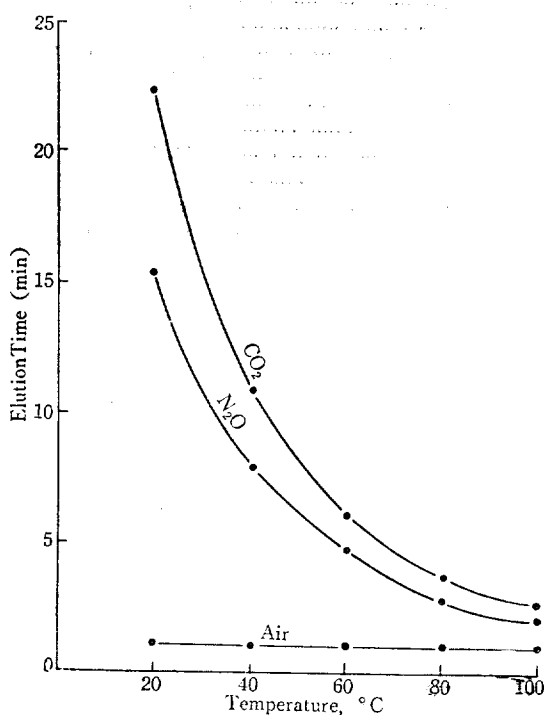


Fig. 9 Elution Time for N_2O - CO_2 -Air

같다. 또 이것을 그림으로 표시하면 Fig. 9와 같다. Table. 1과 Fig. 9에서 보는 바와 같이恒溫槽의 溫

Table. 1 Elution Time(min) for Various Gases on 1 m. Active Carbon Column

成分	20	40	60	80	100
Air	1	1	1	0.85	0.75
N_2O	15.25	7.65	4.65	2.75	2.0
CO_2	22.25	10.5	6.15	3.5	2.5

度가 上昇함에 따라恒久性인 空氣의 流出時間에는 거의 變化가 없으나吸着力이 강한 凝縮性气体인 N_2O 와 CO_2 의 流出時間은 급격히 減少함을 알 수 있다.

Phillips氏⁽⁶⁾에 依하여 gas chromatography의 resolution을 다음式으로 算出할 수가 있다.

Relative peak separation S_{12}

$$S_{12} = \frac{2(t_2 - t_1)}{t_1 + t_2}$$

$t =$ 유출시간(min)

Relative peak sharpness, Q .

$$Q = \frac{t_1 + t_2}{w_1 + w_2}$$

$w =$ peak 밑면에서의 peak의 폭(min)

Degree of resolution, R ,

$$R = QS = \frac{2(t_2 - t_1)}{w_1 + w_2}$$

各 溫度에서 N_2O 와 CO_2 의 relative peak separation

Table. 2 Degree of Resolution on N_2O and CO_2 mixture

	20	40	60	80	100
S	0.373	0.314	0.284	0.240	0.222
Q	4.55	4.85	5.01	5.00	4.65
R	1.70	1.52	1.42	1.20	1.03

과 relative peak sharpness로부터 計算한 NO_2 와 CO_2 두 peak間의 Degree of Resolution은 Table 2와 같은데 이 分離度는 두 物質의 化學的 性質과 column의 效率에 상당한 영향을 받는 값으로 Table. 2에서 보는 바와 같이 20°C에서 Degree of Resolution이 가장 커서 가장 잘 분리함을 알 수 있으나 流出時間이 다른 溫度와 比較하여 너무 高어서 헤리움의 소비가 많고 100°C에서는 流出時間이 짧아서 헤리움의 소비가 적지만 Degree of Resolution이 작고 peak의 sharpness가 커서 peak面積을 計算하기가 어려움을 알 수 있으며 恒溫槽의 溫度維持에 많은 热 energy를 필요로 하여 各 Table과 Fig.로부터 Data를 종합分析해보면 이混合物을 分析하는 데는 40°C~60°C에서 하는 것이 가장 適合함을 알 수 있다.

引用文獻

- 硝安의 热分解反應速度 화학공학 2(1) 3(1964)
- Response Time and Flow Sensitivity of Detectors for Gas Chromatography. Anal. Chem. 31 225(1959)
- 雨宮良三. ガスクロマトグラフィ. 共立出版株式會社 昭和 36 年
- Gas chromatographic separation of some permanent gases on silica gel at reduced temperature. Anal. Chem. 29. 1541(1957)
- Effect of Different carrier Gases on Retention Times in Gas-Adsorption Chromatography Anal. Chem. 29 567 (1957)
- Units of Measurement in Gas Chromatography Anal. Chem. 30 1590(1958)
- Terms and Units in Gas Chromatography Anal. Chem. 30 1586(1958)